

УДК 54-126: 678-19: 66.061.3

## Структура и свойства мезопористых сетчатых гибридных полициануратов

О.П. Григорьева<sup>1</sup>, К.Г. Гусакова<sup>1</sup>, А.М. Файнлейб<sup>1</sup>, D. Grande<sup>2</sup>

<sup>1</sup>Институт химии высокомолекулярных соединений НАН Украины  
48, Харьковское шоссе, Киев, 02160, Украина

<sup>2</sup>Equipe “Systemes Polymeres Complexes”, Institut de Chimie et des Materiaux Paris-Est UMR 7182 CNRS – Universite Paris XII, 2, rue Henri Dunant, 94320, Thiais, France

*Синтезированы и исследованы новые мезопористые пленочные материалы на основе термостойких полициануратов, полученных *in situ* путем синтеза полициануратной сетки (ПЦС) в присутствии линейного поли-ε-капролактона (ПКЛ). Мезопористая структура в исследуемых гибридных ПЦС/ПКЛ материалах формировалась после экстракции химически невстроенного ПКЛ. Методами ИК-спектроскопии, ДСК, ТГА, ДСК-термопорометрии и СЭМ исследованы структура и свойства исходных и пористых гибридных ПЦС/ПКЛ пленочных материалов.*

Известно, что сетчатые полицианураты (ПЦ) имеют ценный комплекс свойств, а именно: высокую термо- и огнестойкость, адгезию к металлам и стекловолокну, стойкость к агрессивным средам, а также низкие диэлектрические потери и водопоглощение [1–3]. Поэтому представляло интерес изучить возможность получения гибридных сетчатых полициануратов с химически встроенными лабильными гетероцепными фрагментами, при частичном разрушении которых в материале будет формироваться пористая структура и, следовательно, данные материалы можно использовать в качестве мембран, способных работать, например, в агрессивных средах при повышенных температурах. В наших предыдущих работах [3–8] изучены структура и свойства гибридных ПЦС/ПКЛ пленочных материалов, в которых пористая структура формировалась в результате гидролиза линейного ПКЛ, который частично химически был встроен в структуру ПЦС. Обнаружено, что в процессе гидролиза от 20 до 60 % ПКЛ (в зависимости от исходного содержания ПКЛ) разрушается и удаляется из гибридной сетки ПЦС/ПКЛ. Вследствие этого формировалась пористая структура: средний размер (диаметр) пор был равен ~33–45 нм, а максимальный размер пор не превышал ~150 нм. В работах [8, 9] показано, что пористую структуру в сетчатых ПЦС можно создать путем проведения реакции поликлотримеризации ДЦБЕ в присутствии высококипящего растворителя (диметилфталата), который по окончании синтеза удалялся, что приводило к формированию пор со средним размером ~20–50 нм.

Целью данной работы было изучить возможность получения мезопористых сетчатых гибридных ПЦС/ПКЛ пленочных материалов путем синтеза *in*

*situ* сетчатого полицианурата в присутствии поли-ε-капролактона, ПКЛ, с последующей экстракцией химически невстроенного ПКЛ. В данной работе исследованы структура и основные свойства полученных исходных и пористых гибридных ПЦС/ПКЛ пленочных материалов.

### Экспериментальная часть

Гибридные сетчатые ПЦС/ПКЛ пленочные материалы получены путем циклотримеризации 1,1'-бис(4-цианатофенил)этана (ДЦБЕ, фирма HUNSTMANN) в присутствии поли-ε-капролактона (ПКЛ,  $M_w \sim 2000$ , фирма ALDRICH). Предварительно ПКЛ растворяли в расплаве ДЦБЕ при 100 °C, вакуумировали в течение 5 мин., затем расплав ДЦБЕ/ПКЛ заливали в пресс-форму, покрытую антиадгезионной пленкой, помещали в программируемый термошкаф, где осуществляли ступенчатый нагрев образцов (от 150 до 210 °C в течение 9 ч.). Были получены пленки ПЦС/ПКЛ толщиной до 100 мкм следующих составов: 100/0, 95/5, 90/10, 85/15, 80/20, 70/30, 60/40 и 50/50 % мас.

Для получения пористых ПЦ-содержащих систем проведена экстракция ПКЛ с использованием аппарата Сокслета (в кипящем ацетоне в течение 16 ч.). Степень встраивания ПКЛ в ПЦ-сетку рассчитывали исходя из предположения о полном экстрагировании ПКЛ, который не был химически встроен в ПЦ-сетку.

Фурье ИК-спектры получены с использованием «Bruker Tensor 27 DTGS» спектрометра в области от 4000 до 450 см<sup>-1</sup> с разрешением 4 см<sup>-1</sup>.

ДСК исследования выполнены с использованием калориметра «Perkin-Elmer-7» в атмосфере азота, масса образцов составляла ~10 мг, скорость нагрева равна 20 °C/мин.

ТГА исследования выполнены с использованием «Setaram TG TDA92 Thermobalance», при этом образцы массой 10–15 мг нагревали в интервале температур от 20 до 900 °C со скоростью, равной 10 °C/мин. в инертной среде.

Для характеристики пористой структуры образцов использовали метод ДСК-термопорометрии, позволяющий определить диаметр пор и их распределение по размерам в пористых образцах, базируясь на эффекте Гиббса-Томпсона, а именно, фиксируя изменение температуры плавления ( $T_{n,l}$ ) растворителя (в нашем случае воды), находящегося непосредственно в порах [11–13]. С этой целью проводили набухание образцов пористых пленок в деионизированной воде в течение ~250 ч. Затем записывали ДСК-термограммы с использованием калориметра “TA Instruments Q100” в температурном интервале от -50 до +5 °C со скоростью нагрева 1 град./мин. Масса образца составляла 0,010–0,015 г. Диаметр пор ( $D_{n,p}$ ), рассчитывали по формуле [11–13]:

$$D_{n,p} = 2 \cdot \left( 0,68 - \frac{32,33}{T_{n,l} - T_{n,l0}} \right), \quad (1)$$

где:  $T_{n,l}$  и  $T_{n,l0}$  – температуры плавления воды, находящейся непосредственно в порах и в остальном объеме образца соответственно. Распределение пор по размеру, ( $dV/dR$ ), определяли с использованием уравнения [11–13]:

$$dV/dR = \frac{dq/dt \cdot (T_{n,l} - T_{n,l0})^2}{32,33 \cdot \rho \cdot v \cdot m \cdot \Delta H(T)}, \quad (2)$$

где:  $V$  – объем пор;  $R$  – радиус пор;  $dq/dt$  – тепловой поток, определяющийся по ДСК;  $\rho$  – плотность воды;  $v$  – скорость нагрева образца;  $m$  – масса образца;  $\Delta H(T)$

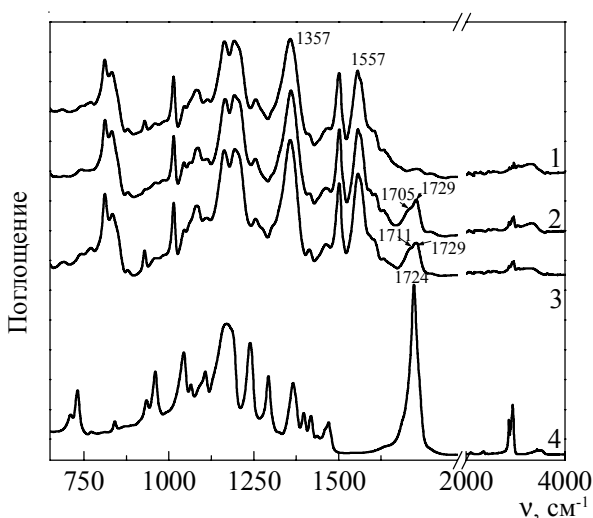


Рис. 1. ИК-спектры: индивидуальный ПЦС (1); образцов гибридных ПЦС/ПКЛ сеток с исходным содержанием ПКЛ 20 % мас. до (2) и после (3) частичной экстракции ПКЛ; индивидуальный ПКЛ (4)

– энталпия плавления воды. Значения  $\Delta H(T)$  рассчитывали по формуле:

$$\Delta H(T) = 332 + 11,39 \cdot (T_{n,l} - T_{n,l0}) + 0,155 \cdot (T_{n,l} - T_{n,l0})^2. \quad (3)$$

### Результаты и обсуждение

На рис. 1 представлены ИК-спектры индивидуальных образцов ПЦС и ПКЛ (кривые 1 и 4 соответственно), а также образца гибридной сетки состава ПЦС/ПКЛ=80/20 (% мас.) до (кривая 2) и после (кривая 3) частичной экстракции ПКЛ. Отсутствие в спектре индивидуального ПЦС полос поглощения цианатных групп при 2236–2272  $\text{cm}^{-1}$  свидетельствует о том, что реакция полициклотримеризации ДЦБЕ с образованием ПЦС прошла полностью [1–3, 14]. Аналогично, в ИК-спектре образца состава ПЦС/ПКЛ=80/20 (% мас.) (как и в образцах других составов) не был зафиксирован непрореагировавший мономер ДЦБЕ. Одновременно в спектрах данных образцов присутствуют интенсивные полосы поглощения при 1357 и 1557  $\text{cm}^{-1}$ , которые относят, соответственно, к валентным колебаниям триазинового цикла и связи фенил-кислород-триазин ПЦС.

О присутствии ПКЛ в образцах ПЦС/ПКЛ (до и после экстракции невстроенного ПКЛ) свидетельствует интенсивная полоса поглощения при 1729  $\text{cm}^{-1}$ , которая относится к валентным колебаниям карбонильных групп C=O ( $\nu$  C=O) из ПКЛ [15]. Однако, видно, что в спектре индивидуального ПКЛ интенсивная полоса поглощения  $\nu$  C=O расположена при 1724  $\text{cm}^{-1}$ , т. е. в образцах состава ПЦС/ПКЛ=80/20 (до и после экстракции) имеет место частотный сдвиг полосы  $\nu$  C=O и, кроме того, наблюдается ее расщепление и появление низкочастотного максимума при 1704 или 1711  $\text{cm}^{-1}$  (рис. 1, кривые 2 и 3). Последнее, как известно [16], свидетельствует о присутствии связанных водородными связями групп C=O. Аналогичные данные были получены для образцов других составов (спектры не приводятся). Отметим также, что в образцах ПЦС/ПКЛ после экстракции невстроенного ПКЛ имеет место снижение интенсивности полосы поглощения  $\nu$  C=O (рис. 1, кривая 3), что подтверждает факт уменьшения доли ПКЛ в этих образцах (в сравнении с исходными).

Поскольку химически невстроенный ПКЛ, макромолекулы которого имеют OH-группы на концах цепи, удаляется в процессе экстракции из гибридной ПЦС/ПКЛ сетки, то можно предположить, что часть макромолекул ПКЛ встраивается в ПЦ-сетку только одним концом (рис. 2), вследствие чего оставшиеся OH-группы макромолекул ПКЛ могут участвовать в формировании водородных связей с группами C=O.

Факт химического встраивания ПКЛ в растущую ПЦ-сетку подтверждается данными гель-фракции, представленными на рис. 3. Видно, что экспериментальные значения гель-фракции для всех композиций выше соответствующих теоретических значений, рассчитанных из предположения полного отсутствия

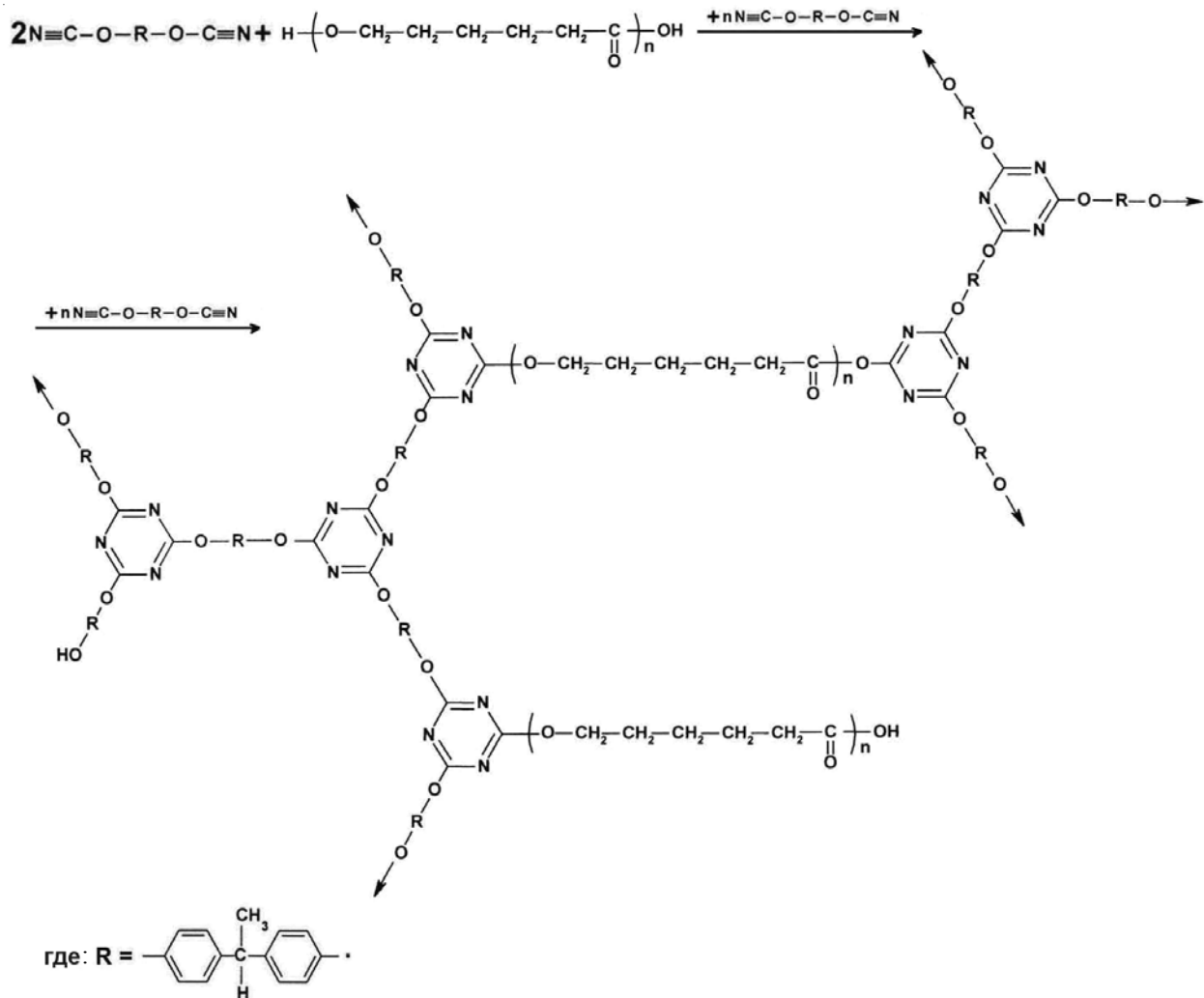


Рис. 2. Схема формирования гибридной ПЦС/ПКЛ сетки за счет химического встраивания макромолекул ПКЛ в структуру *in situ* формирующейся ПЦС

химического встраивания ПКЛ в ПЦС. Из полученных данных были рассчитаны доля химически встроенного и невстроенного ПКЛ, а также степень встраивания ПКЛ в ПЦ-сетку (рис. 4). Видно, что степень встраивания ПКЛ во всех образцах достаточно высокая и составляет 52÷71 %; с ростом доли ПКЛ от 5 до 50 % она закономерно повышается, при этом содержание встроенного ПКЛ достигает 35,7 %, а невстроенного – 14,3 % практически не изменяясь в образцах с исходным содержанием ПКЛ 30÷50 %. Можно предположить, что при формировании гибридной сетки ПЦС/ПКЛ, которая характеризуется меньшей эффективной плотностью сшивки и имеет большее сродство к ПКЛ, диффузия макромолекул ПКЛ в объеме образца происходит легче, что приводит к росту степени встраивания ПКЛ. Полученные данные согласуются с результатами исследований, представленными ранее в работах [17–22], где были изучены особенности модификации ПЦС различными реакционноспособными полиэфирами и каучуками.

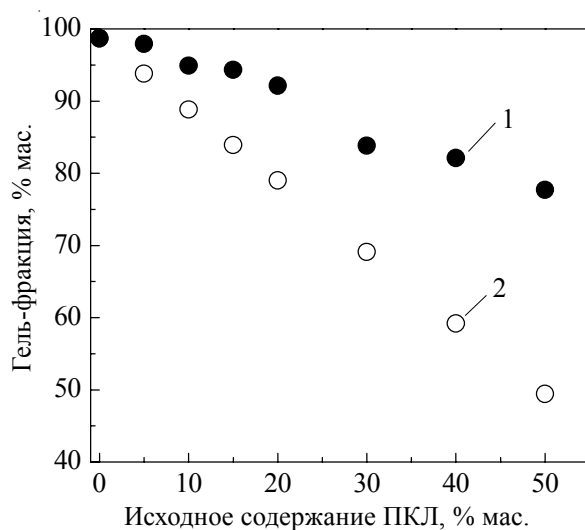


Рис. 3. Концентрационная зависимость гель-фракции образцов ПЦС/ПКЛ: экспериментальные (1) и аддитивные данные (2)

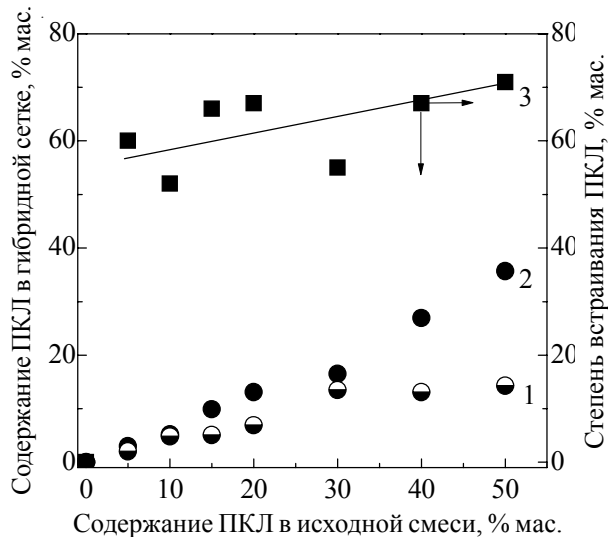


Рис. 4. Концентрационные зависимости содержания в гибридной сетке невстроенного (1) и химически встроенных (2), а также степени встраивания ПКЛ (3)

Представляло интерес исследовать и сравнить теплофизические и термические свойства образцов гибридных ПЦС/ПКЛ сеток до и после экстракции невстроенного ПКЛ в зависимости от доли ПКЛ в исходной смеси. На рис. 5 приведены типичные ДСК-термограммы для ПЦС/ПКЛ систем с различным исходным соотношением компонентов. Прежде всего, следует отметить, что индивидуальный ПКЛ является полукристаллическим полимером ( $T_{nn} \sim 49^\circ\text{C}$ ;  $T_{cm} \sim -66^\circ\text{C}$ ), однако ни в одном из исследованных образцов ПЦС/ПКЛ плавление ПКЛ-компонента не проявляется, что свидетельствует, очевидно, о подавлении процесса кристаллизации макромолекул ПКЛ (как химически встроенных, так и невстроенных) вследствие формирования густосшитой гибридной ПЦС/ПКЛ сетки. Индивидуальная ПЦ-сетка является аморфным полимером с  $T_{cm} \sim 241^\circ\text{C}$ .

Сравнивая представленные ДСК термограммы можно заключить, что, во-первых, во всех исходных образцах ПЦС/ПКЛ (до экстракции) в отличие от индивидуального ПЦС, присутствие 20–50 % ПКЛ обуславливает существенное снижение значений  $T_{cm}$  ПЦС-компонента (до  $\sim 173 \pm 55^\circ\text{C}$ ) и расширение температурного интервала стеклования ( $\Delta T_{cm}$ ). Оба эти факта свидетельствуют о том, что релаксационная подвижность кинетических сегментов (очевидно, межузловых фрагментов) гибридной ПЦС/ПКЛ сетки в образцах ПЦС/ПКЛ существенно выше в сравнении с образцом ПЦС, что обусловлено как снижением эффективной плотности сшивки гибридной сетки (за счет химического встраивания макромолекул ПКЛ), так и пластифицирующим эффектом невстроенного ПКЛ. Кроме того, в работе [4] нами было показано, что гибридная ПЦС/ПКЛ сетка характеризуется

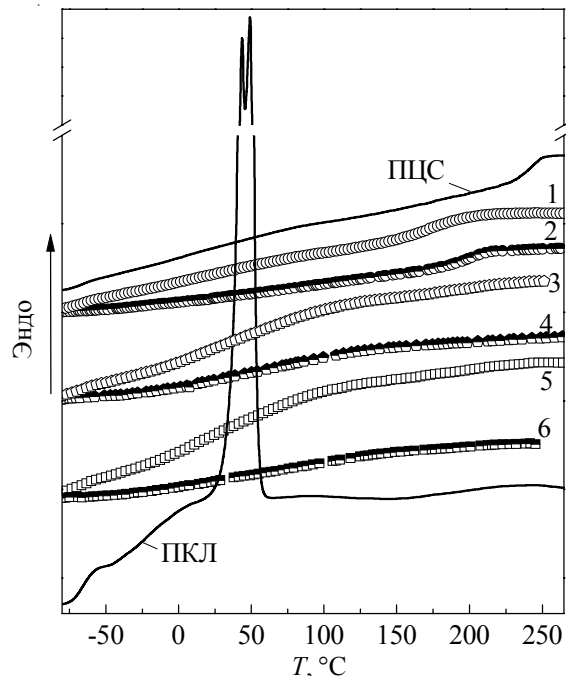


Рис. 5. ДСК-термограммы (для лучшего сравнения кривые последовательно сдвинуты по оси “у”) исследуемых образцов: индивидуальные ПЦС и ПКЛ (указано на графике); гибридные ПЦС/ПКЛ исходные (открытые символы) и пористые (полузакрытые символы) с исходным содержанием ПКЛ: 20 (1, 2); 40 (3, 4) и 50 % мас. (5, 6)

существенной неоднородностью структуры: было обнаружено, что в образце состава ПЦС/ПКЛ=70/30 эндотермический переход, соответствующий процессу стеклования, является суперпозицией, как минимум, двух релаксационных переходов с  $T_{cm1} \sim 47^\circ\text{C}$  и  $T_{cm2} \sim 98^\circ\text{C}$ . Было установлено, что эндотермический переход с  $T_{cm1} \sim 47^\circ\text{C}$  обусловлен релаксационной подвижностью макромолекул невстроенного линейного ПКЛ, подвижность кинетических сегментов которого значительно ограничена химическими узлами гибридной сетки, в то время как переход при  $T_{cm2} \sim 98^\circ\text{C}$  соответствует процессу стеклования гибридной сетки ПКЛ/ПЦС, густота которой значительно меньше по сравнению с индивидуальной ПЦС. Аналогичная неоднородность сетчатой структуры наблюдается во всех исследованных гибридных образцах ПЦС/ПКЛ, при этом с повышением доли ПКЛ значения  $T_{cm}$  закономерно снижаются, а структурная неоднородность растет.

В образцах ПЦС/ПКЛ после экстракции химически невстроенного ПКЛ (рис. 5, кривые 2, 4 и 6) наблюдается значительное сужение интервала  $\Delta T_{cm}$  и повышение значений  $T_{cm}$  по сравнению с аналогичными образцами до экстракции. Например, образец ПЦС/ПКЛ с исходным содержанием ПКЛ 20 % характеризуется  $T_{cm} \sim 173^\circ\text{C}$  и  $\Delta T_{cm} \sim 58^\circ\text{C}$ , однако после экстракции  $\sim 7,9$  % невстроенного ПКЛ, значение

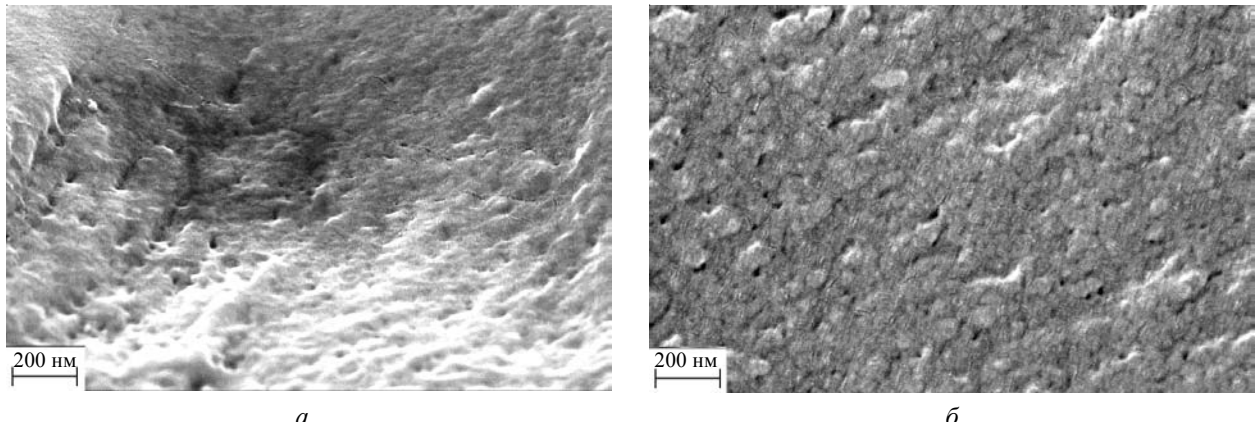


Рис. 6. Микрофотографии СЭМ образцов пористых гибридных ПЦС/ПКЛ (после экстракции) с исходным содержанием ПКЛ: 40 (а) и 50 % мас. (б)

$T_{cm}$  стало равно  $\sim 206$  °C, а  $\Delta T_{cm} \sim 37$  °C. Аналогичные изменения наблюдались для других исследованных образцов ПЦС/ПКЛ (рис. 5, кривые 4 и 6). Тот факт, что величина  $T_{cm}$  ПЦ-составляющей в образцах после экстракции невстроенного ПКЛ меньше в сравнении с  $T_{cm}$  индивидуальной ПЦС, объясняется как признаком химически встроенного ПКЛ, так и формированием в образце пористой структуры.

Присутствие пор в образцах ПЦС/ПКЛ после частичной экстракции ПКЛ-составляющей, экспериментально подтверждается СЭМ микрофотографиями, представленными на рис. 6. Видно, что образцы после экстракции имеют пористую структуру (на фотографиях поры – это темные сфероподобные участки), при этом в зависимости от исходного содержания ПКЛ в образцах изменяется форма, размер и плотность пор.

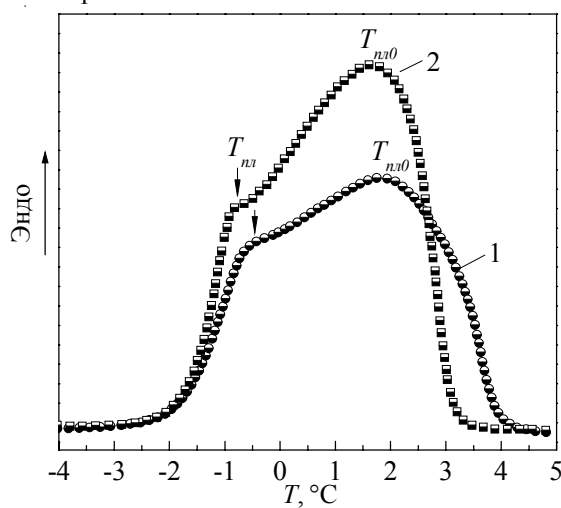


Рис. 7. Фрагменты ДСК термограмм для ряда образцов пористых гибридных ПЦС/ПКЛ пленок (после частичной экстракции ПКЛ и набухания образцов в воде) с исходным содержанием ПКЛ: 40 (1) и 50 % мас. (2). Стрелкой обозначен эндотермический пик, соответствующий  $T_{nl}$  воды непосредственно в порах

Методом ДСК-термопирометрии, используя выше приведенные уравнения (1–3), в пористых образцах ПЦС/ПКЛ были определены такие характеристики пористой структуры, как диаметр пор ( $D_{por}$ ) и распределение пор по размерам, ( $dV/dR$ ). На рис. 7 приведены соответствующие фрагменты ДСК термограмм (в температурной области  $T = -4\text{--}5$  °C) для образцов пористых гибридных ПЦС/ПКЛ пленок (после частичной экстракции ПКЛ и набухания образцов в воде, см. экспериментальную часть) с разным исходным содержанием ПКЛ, а на рис. 8 представлены кривые зависимости  $dV/dR = f(D_{por})$  для этих образцов. Видно, что при нагревании данных пористых образцов на их ДСК-термограммах появляются два эндотермических максимума, которые, как известно [11–13], свидетельствуют о плавлении воды непосредственно в порах ( $T_{nl}$ ) и в остальном объеме образца ( $T_{nl0}$ ). Видно, что чем больше в образцах исходное содержание ПКЛ, тем более интенсивный первый эндотермический переход (в области температур от  $\sim -2,0$  до 0,0 °C),

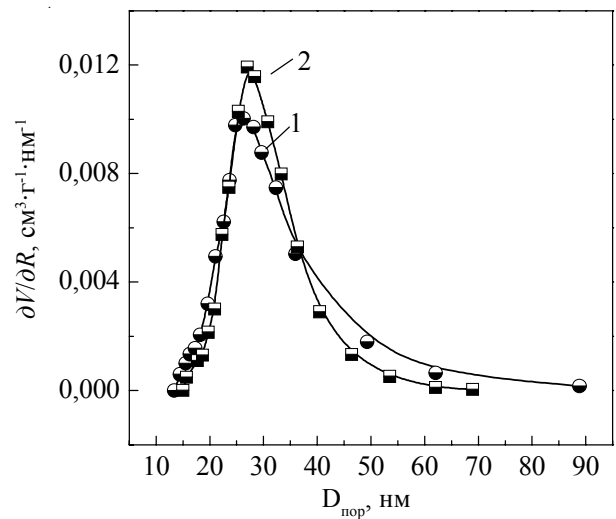


Рис. 8. Распределение пор по размерам ( $dV/dR$ ) для пористых гибридных ПЦС/ПКЛ пленок с исходным содержанием ПКЛ 40 (1) и 50 % мас. (2)

Таблица. Термические характеристики индивидуальных компонентов, а также гибридных ПЦС/ПКЛ композиций до и после экстракции ПКЛ

Состав образцов, % мас.	$T_{\text{d}(5\%)}^{\text{a)}, ^\circ\text{C}$	$T_{\text{d}(\text{max})}^{\text{b)}/(\Delta m)}^{\text{b)}, ^\circ\text{C}/\text{мас. \%}$	$T_{\text{d}(50\%)}^{\text{c)}, ^\circ\text{C}$	$m_{\text{кокс}}, \% \text{ мас.}$
ПЦС 100	411	427 (17)	698	46
ПЦС/ПКЛ = 90/10 (исходный)	391	421 (73)	470	35
ПЦС/ПКЛ = 94,8/5,2 (после экстракции)	394	424 (73)	516	40
ПЦС/ПКЛ = 70/30 (исходный)	268	409 (52)	411	20
ПЦС/ПКЛ = 83,5/16,5 (после экстракции)	335	415 (51)	415	21
ПЦС/ПКЛ = 50/50 (исходный)	252	397 (49)	396	4
ПЦС/ПКЛ = 64,3/35,7 (после экстракции)	355	413 (53)	414	16
ПКЛ 100	280	393 (67)	381	2

<sup>a)</sup>  $T_{\text{d}(5\%)}$  – температура деструкции, определенная при 5 % потери образцом массы; <sup>b)</sup>  $T_{\text{d}(\text{max})}$  – температура максимальной скорости деструкции; <sup>b)</sup>  $\Delta m$  – потеря образцом массы при  $T_{\text{d}(\text{max})}$ ; <sup>c)</sup>  $T_{\text{d}(50\%)}$  – температура деструкции, определенная при 50 % потери образцом массы; <sup>d)</sup>  $m_{\text{кокс}}$  – коксовый остаток

который соответствует  $T_{\text{нл}}$  воды непосредственно в порах (рис. 7), также повышается интенсивность максимума на зависимости  $dV/dR = f(D_{\text{пор}})$  (рис. 8). Это свидетельствует о повышении объема воды, которая находится в этих образцах внутри пор, а значит суммарный объем пор тут выше. Расчеты показали, что в исследованных образцах максимальный размер пор не превышает 70–90 нм, при этом подавляющее большинство пор имеет диаметр ~26–30 нм. Полученные результаты хорошо согласуются с выше приведенными данными СЕМ. По классификации ИЮПАК полученные пористые ПЦС/ПКЛ пленки относятся к мезопористым материалам [23].

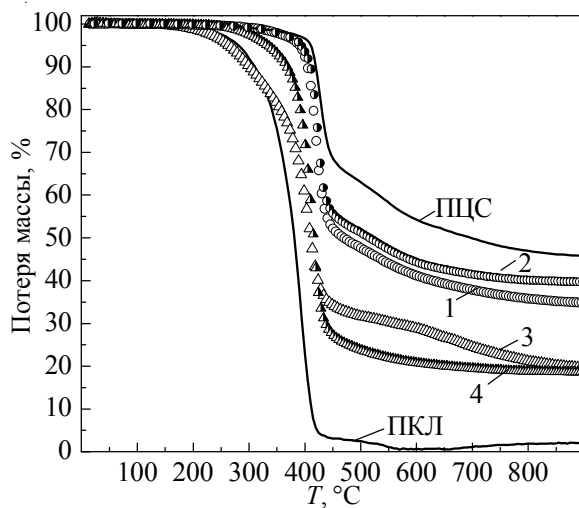


Рис. 9. ТГА кривые потери массы образцами: индивидуальные ПЦС и ПКЛ, а также гибридные ПЦС/ПКЛ композиции исходные (открытые символы) и пористые (полузакрытые символы) с исходным содержанием ПЦС: 90 (1, 2) и 70 % мас. (3, 4)

Методом ТГА была изучена термостойкость исходных и пористых образцов гибридных ПЦС/ПКЛ пленок в зависимости от содержания в них ПКЛ. На рис. 9 представлены соответствующие ТГА кривые, а в таблице приведены основные термические характеристики исследуемых образцов. Сравнительный анализ данных, представленных на рис. 9 и в таблице позволяет сказать следующее:

1) термическая стойкость пористых образцов гибридных ПЦС/ПКЛ пленок несколько ниже, чем у индивидуального ПЦС, но существенно выше, чем у аналогичных исходных (до экстракции) образцов, о чем свидетельствуют более высокие значения температур деструкции ( $T_{\text{d}(5\%)}$ ,  $T_{\text{d}(\text{max})}$ ,  $T_{\text{d}(50\%)}$ ) и величина коксового остатка ( $m_{\text{кокс}}$ ). Очевидно, это, прежде всего, обусловлено отсутствием невстроенного ПКЛ и формированием менее регулярной (в сравнении с ПЦС) гибридной ПЦС/ПКЛ сетки, поэтому мы считаем, что присутствие пор практически не влияет на термостойкость исследованных образцов;

2) термическая деструкция в области температур ~220–400 °C в исследованных образцах состава ПЦС/ПКЛ обусловлена присутствием ПКЛ (химически встроенного и невстроенного), очевидно, что после экстракции невстроенного ПКЛ, значения температур деструкции и коксового остатка закономерно повышаются;

3) все исследованные гибридные ПЦС/ПКЛ композиции можно отнести к классу термостойких полимеров, поскольку термостойкость образцов (пористых и исходных) с небольшим содержанием ПКЛ (~10 %) близка к термостойкости индивидуального ПЦС, и даже для образца состава ПЦС/ПКЛ=50/50 температура потери 5 % массы выше 250 °C.

## Выводы

Синтезированы и исследованы новые мезопористые гибридные ПЦС/ПКЛ пленочные материалы, полученные *in situ* путем полициклотримеризации ДЦБЕ в присутствии 5÷50 % мас. ПКЛ, что сопровождается химическим встраиванием 52÷71 % ПКЛ (в зависимости от доли ПКЛ) в растущую полимерную гибридную сетку. После частичной экстракции ПКЛ-компоненты в образцах формируется пористая структура, однако исследования с использованием ИК-спектроскопии и результаты гель-фракции подтвердили, что полного извлечения ПКЛ из гибридной ПЦС/ПКЛ сетки не происходит. Данные ДСК анализа свидетельствуют о том, что в образцах ПЦС/ПКЛ после экстракции химически невстроенного ПКЛ наблюдается значительное сужение интервала  $\Delta T_{cm}$  и

повышение значений  $T_{cm}$  по сравнению с аналогичными исходными образцами. Микрофотографии СЕМ и данные ДСК-термопирометрии свидетельствуют о наличии в образцах после экстракции мезопористой структуры, проведенные расчеты показали, что максимальный размер пор не превышает 70–90 нм, при этом подавляющее большинство пор имеет диаметр ~ 26–30 нм.

*Авторы выражают благодарность НАН Украины и CNRS (Франция) за финансовую поддержку в рамках соглашения о международном сотрудничестве между Украиной и Францией (проект № 16813). Авторы такжескренне признательны И.Ю. Даниленко за оказанную помощь в подготовке образцов к исследованиям.*

## Литература

1. Chemistry and Technology of Cyanate Ester Resins / ed. I. Hamerton. – Chapman & Hall, Glasgow, 1994. – 357 p.
2. Hamerton I., Hay J.N. Recent technological developments in cyanate ester resins // High Perform. Polym. – 1998. – V. 10. – P. 163–174.
3. Fainleib A., Grigoryeva O., Garda M.R., Saiter J.M., Laupretre F., Lorthioir C., Grande D. // J. Appl. Sci. – 2007. – Vol. 106. – P. 3929–3938.
4. Григор'єва О.П., Гусакова К.Г., Файнлейб О.М., N. Lacoudre, D. Grande // Полімер. журн. – 2008. – **30**, № 1.– С. 27-36.
5. Гусакова К.Г., Гранде Д., Григор'єва О.П., Файнлейб О.М., Зелинський А.Г. // Міжнар. наук. конф. присвячена пам'яті М.Т. Брика „Мембральні та сорбційні процеси і технології”, 5–7 березня, 2007, Київ, Україна, Тези доп. – С. 24.
6. Grande D., Lacoudre N., Lorthioir C., Gusakova K., Grigoryeva O., Fainleib A. // Second International Symposium Advanced Micro- and Mesoporous Materials September 6-9, 2007 Varna, Bulgaria, Book of Abstracts. – P1-5 – P. 85.
7. Grande D., Lacoudre N., Lothioir C., Gusakova K., Grigoryeva O., Fainleib A. // Polym. Mater. Sci. Eng. – 2007. – Vol. 97. – P. 426–427.
8. Grigoryeva O., Fainleib A., Gusakova K., Grande D., Lacoudre N., Lorthioir C. // 15<sup>th</sup> World Forum on Advanced Materials “Polychar – 15”, April 16–20, 2007, Rio de Janeiro, Brazil, Book of Abstracts – P. 183.
9. Gusakova K., Grigoryeva O., Fainleib A., Grande D., Lacoudre N., Lorthioir C. // 3<sup>rd</sup> International Symposium on “Reactive Polymers in Inhomogeneous Systems in Melts, and at Interfaces” react2007, Sept. 23 - 26, 2007, Dresden, Germany, Abstract book. – P. 176.
10. Hedrick J.L., Labadie J.W., Russell T., Warharker V. // Polymer. – 1993. – Vol. 34. – P. 22.
11. Brun, M.; Lallemand, A.; Quinson, J.-F.; Eyraud, C. // Thermochim. Acta. – 1977. – Vol. 21. – P. 59.
12. Iza, M.; Woerly, S.; Danumah, C.; Kaliaguine, S.; Bousmina, M. // Polymer. – 2000. – Vol. 41. – P. 5885.
13. Hay, J. N.; Laity, P. R. // Polymer. – 2000. – V. 41. – P. 6171.
14. Nair C. P. R., Mathew D., Ninan K. N. Cyanate ester resins, recent developments // Advances in Polymer Science. – 2000. – V. 155. – P. 1–99.
15. Elzein T., Nasser-Eddine M., Delaite C., Bistac S., Dumas P. // J. Colloid Interface Sci. – 2004. – Vol. 273. – P. 381–387.
16. Тарутина Л.И., Позднякова Ф.О. Спектральный анализ полимеров. – Л.: Химия, 1986. – 248 с.
17. Grigoryeva O., Fainleib A., Sergeeva L.M. // Handbook of Condensation Thermoplastic Elastomers / ed. S. Fakirov. – Germany: WILEY-VCH. – 2005. – Chapter 12. – P. 325–354.
18. Fainleib A., Grigoryeva O., Pissis P. // J. Balkan Tribolog. Assoc. – 2005. – **11**, № 3.– P. 303–334.
19. Fainleib A., Grenet J., Garda M.R., Saiter J.M., Laupretre F., Lothioir C., Grande D. // Polym. Degr. Stab. – 2003. – **81**, № 3. – P. 423–430.
20. A. Fainleib, D. Hourston, O. Grigoryeva, T. Shantalii, L. Sergeeva // Polymer. – 2001. – Vol. 42. – P. 8361–8372.
21. Fainleib A.M., Grigoryeva O.P., Hourston D.J. // Int. J. Polym. Mat. – 2001. – **51**, № 1-2. – P. 57–75.
22. Гриценко В.В. Модифікація сітчастих поліциануратів реакційноздатними олігомерами та полімерами: Автореф. дис. ... канд. хім. наук.– Київ: IXBC, 2004.
23. Брик М.Т. Енциклопедія мембр:У 2 т. –Київ.: Вид. дім Києво-Могилянська академія, 2006 –T.1. – 658 с.

Поступила в редакцию 21 января 2008 г.

## Структура та властивості мезопористих сігчастих гібридних поліціануратів

*O.P. Grigoryeva<sup>1</sup>, K.G. Gusakova<sup>1</sup>, A.M. Fainleib<sup>1</sup>, D. Grande<sup>2</sup>*

<sup>1</sup>Інститут хімії високомолекулярних сполук НАН України

48, Харківське шосе, Київ, 02160, Україна

<sup>2</sup>Equipe “Systemes Polymères Complexes”, Institut de Chimie et des Matériaux Paris-Est UMR 7182 CNRS – Université Paris XII, 2, rue Henri Dunant, 94320 Thiais, France

*Синтезовані та досліджені нові мезопористі плівкові матеріали на основі термостійких поліціануратів, отриманих *in situ* шляхом синтезу поліціануратної сітки (ПЦС) за наявності лінійного полі-ε-капролактону (ПКЛ). Мезопориста структура в досліджуваних гібридних ПЦС/ПКЛ матеріалах була сформована після екстракції хімічно небудованого ПКЛ. Методами ІЧ-спектроскопії, ДСК, ТГА, ДСК-термопорометрії та СЕМ досліджено структуру та властивості вихідних і пористих гібридних ПЦС/ПКЛ плівкових матеріалів.*

## Structure and properties of mesoporous crosslinking hybrid polycyanurates

*O.P. Grigoryeva<sup>1</sup>, K.G. Gusakova<sup>1</sup>, A.M. Fainleib<sup>1</sup> and D. Grande<sup>2</sup>*

<sup>1</sup>Institute of Macromolecular Chemistry NAS of Ukraine

48, Kharkivske shausse, Kyiv, 02160, Ukraine

<sup>2</sup>Equipe “Systemes Polymères Complexes”, Institut de Chimie et des Matériaux Paris-Est UMR 7182 CNRS – Université Paris XII, 2, rue Henri Dunant, 94320 Thiais, France

*Novel mesoporous film materials based on thermostable polycyanurates generated *in situ* by synthesis of polycyanurate network (PCN) in the presence of linear poly-μ-caprolactone (PCL) have been synthesized and characterized. After extraction of non-embedded PCL mesoporous structure of hybrid PCN/PCL materials obtained was generated. Structure and properties of the initial and porous hybrid PCN/PCL film materials were studied by FTIR-spectroscopy, DSC, TGA, DSC-thermoporometry and SEM analysis.*